

## ПРОВІДНІСТЬ НА ЗМІННОМУ СТРУМІ ТА ДІЕЛЕКТРИЧНІ ВЛАСТИВОСТІ ХАЛЬКОГАЛОГЕНІДНИХ СТЕКОЛ

В. М. Рубіш

Ужгородський національний університет, фізичний факультет,  
бул. Підгірна, 46, Ужгород, 88000, Україна

(Отримано 6 квітня 2001 р.; в остаточному вигляді — 29 квітня 2002 р.)

У діапазоні частот  $10^4$ – $10^{10}$  Гц та інтервалі температур від 170 К до температур склування  $T_g$  досліджено провідність на змінному струмі  $\sigma(\omega)$  та діелектричні параметри ( $\epsilon$  і  $\operatorname{tg} \delta$ ) стекол у системах Ge–As(Sb)–S–I. Температурні та частотні залежності  $\sigma(\omega)$  визначено об'єднаним стрибковим механізмом переносу заряду біполаронами і простими поляронами. Діелектричні властивості стекол пояснено на основі моделі заряджених дефектів.

**Ключові слова:** провідність, енергія активації, поляризація, діелектрична проникність, халькогенідні скла.

PACS number(s): 72.15.Cz, 73.61.Jc

### I. ВСТУП

Комплексна діелектрична проникність  $\epsilon^*$  зумовлена процесами встановлення поляризації в речовині, поміщений в електричне поле, і може бути описана виразом [1]:

$$\epsilon^*(\omega) = \epsilon_\infty + \int_0^\infty \gamma(x) e^{i\omega x} dx, \quad (1)$$

де  $x$  — змінна інтегрування;  $\gamma(x)$  — функція, яка описує зміну поляризації з часом;  $\epsilon_\infty$  — діелектрична проникність, що відповідає безінерційній складовій поляризації. Залежно від виду функції  $\gamma(x)$  розрізняють два випадки: 1) пружне зміщення частинок; 2) зміщення частинок з одного положення рівноваги в інше (релаксаційна поляризація). У першому випадку діелектрична проникність визначається електронною й атомною поляризаціями. Релаксаційна поляризація (дипольна та йонна) проявляється в діелектриках, у структурі яких наявні дипольні структурні угрупування (дипольні молекули) або слабозв'язані носії заряду (йони), що можуть зміщатися на значні відстані. Ці види поляризації зумовлюють значні діелектричні втрати й дисперсію  $\epsilon$ . Крім того, тверді діелектрики або напівпровідники, в структурі яких є локалізовані дефектні стани, виявляють втрати дебайського типу (коли зміщення зарядів мають порядок міжатомної відстані). У халькогенідних і халькогалогенідних склоподібних напівпровідниках концентрація локалізованих дефектних станів значна, тому перенос заряду між ними визначає провідність на змінному струмі і може давати внесок у величину діелектричної проникності  $\epsilon$  та послужити причиною її дисперсії [2–4].

Слід відзначити, що на сьогодні дослідження провідності на змінному струмі та діелектричних властивостей проводили, в основному, для склоподібних

матеріалів на основі халькогенідів миш'яку. Всі вони мають порівняно низькі значення діелектричної проникності (6–12) і діелектричних утрат ( $10^{-4}$ – $10^{-2}$ ). Склоподібні ж халькогеніди сурми, а надто четвірні стекла на їх основі, в цьому напрямі вивчені мало.

У цій статті подано результати дослідження діелектричних параметрів ( $\epsilon$  і  $\operatorname{tg} \delta$ ) та провідності на змінному струмі  $\sigma(\omega)$  стекол системи Ge–As(Sb)–S–I (вивчено стекла розрізів As<sub>2</sub>S<sub>3</sub>–AsI<sub>3</sub>, Sb<sub>2</sub>S<sub>3</sub>–SbI<sub>3</sub>, As<sub>2</sub>S<sub>3</sub>–GeS<sub>2</sub>, Sb<sub>2</sub>S<sub>3</sub>–GeS<sub>2</sub>, AsSI–GeS<sub>2</sub>, SbSI–GeS<sub>2</sub>).

### II. ЕКСПЕРИМЕНТАЛЬНА ЧАСТИНА

Температурні й частотні залежності  $\sigma(\omega)$ ,  $\epsilon$  і  $\operatorname{tg} \delta$  досліджували резонансним методом [5] у діапазоні частот  $1.0 \times 10^4$ – $3.0 \times 10^7$  Гц та інтервалі температур від 170 К до температур склування  $T_g$ . Зразки для вимірювань приготовляли у вигляді плоскопаралельних пластин, на найбільші площини яких наносили електроди. Як електроди використовували аквадаг і срібну пасту. Вольт-амперні характеристики структур Ag(C)|зразок|Ag(C) мали симетричну форму, і для них закон Ома справедливий до полів  $\sim 10^5$  В/м.

Для вияснення впливу контактних явищ на вимірювані параметри досліджували температурні залежності  $\epsilon$  і  $\operatorname{tg} \delta$  деяких склоподібних сплавів систем Sb–S–I, Ge–Sb–S і Ge–As–S у діапазоні частот  $10^8$ – $10^{10}$  Гц. Для цих вимірювань використовували коаксіальну лінію передач [6].

Дослідження проводили у вакуумі  $10^{-3}$  торр. Відносні похибки вимірювань складали:  $\epsilon$  — 3%,  $\sigma(\omega)$  і  $\operatorname{tg} \delta$  — 10%.

### III. РЕЗУЛЬТАТИ ТА ЇХ ОБГОВОРЕННЯ

Вимірювання  $\epsilon$  і  $\operatorname{tg} \delta$  стекол названих систем дозволили встановити, що дисперсія відносної діелектричної проникності у вказаному діапазоні частот прак-

тично відсутня (рис. 1), а тангенс кута діелектричних утрат монотонно зменшується з ростом частоти.

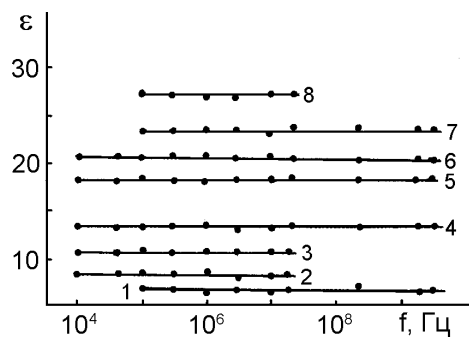


Рис. 1. Частотна залежність  $\epsilon$  стекол при  $T = 300$  К: 1 —  $\text{Ge}_3\text{As}_{36}\text{S}_{61}$ ; 2 —  $\text{Ge}_{23}\text{Sb}_{10}\text{S}_{57}\text{I}_{10}$ ; 3 —  $\text{Ge}_{17}\text{Sb}_{17}\text{S}_{49}\text{I}_{17}$ ; 4 —  $\text{Ge}_{13}\text{Sb}_{24}\text{S}_{63}$ ; 5 —  $\text{Ge}_{10}\text{Sb}_{28}\text{S}_{62}$ ; 6 —  $\text{Sb}_{40}\text{S}_{60}$ ; 7 —  $\text{Sb}_{36}\text{S}_{45}\text{I}_{19}$ ; 8 —  $\text{Sb}_{38}\text{S}_{54}\text{I}_{8}$ .

Температурні залежності  $\epsilon$  і  $\operatorname{tg} \delta$  стекол системи  $\text{Sb}_2\text{S}_3-\text{SbI}_3$ , характерні для більшості вивчених скло-

подібних сплавів, наведені на рис. 2. Видно, що в ділянці температур  $T < T_g$  для всіх зразків величина  $\epsilon$  практично постійна, а при температурах, близьких до температури склування відповідного скла, діелектрична проникність  $\epsilon$  і  $\operatorname{tg} \delta$  помітно зростає.

Слід відзначити, що такий же вигляд мають температурні залежності  $\epsilon$  і  $\operatorname{tg} \delta$ , вимірюяні в НВЧ діапазоні. Це дозволяє зробити висновок, що зростання цих параметрів у ділянці температур склування зумовлене не контактним ефектом, а є властивістю досліджуваних матеріалів. При повторенні циклів нагрівання—охолодження в ділянці температур від кімнатних до  $T_g$  характер залежностей  $\epsilon(T)$  і  $\operatorname{tg} \delta(T)$  не змінюється, що свідчить про відсутність ефекту кристалізації досліджуваних стекол. Відсутність дисперсії  $\epsilon$  і слабка залежність цього параметра від температури свідчать про те, що величина діелектричної проникності вивчених халькогалогенідних стекол визначається, в основному, електронною й атомною поляризаціями [7], час встановлення яких досить малий і складає  $\sim 10^{-15}-10^{-13}$  с. Підтвердженням цього висновку можуть служити низькі значення  $\operatorname{tg} \delta$  досліджуваних стекол (наприклад, при  $T = 300$  К на частоті  $10^5$  Гц  $\operatorname{tg} \delta$  стекол у системах Ge-As(Sb)-S-I не перевищує  $10^{-2}$ ).

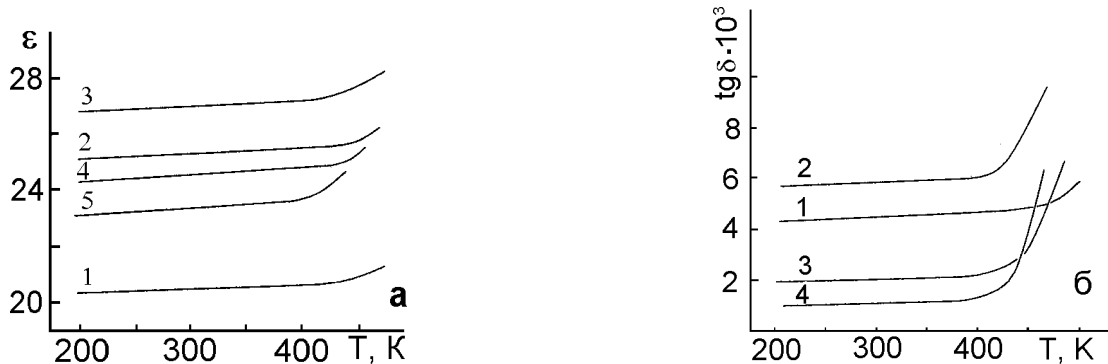


Рис. 2. Температурні залежності  $\epsilon$  (а) і  $\operatorname{tg} \delta$  (б) на частоті  $10^5$  Гц стекол системи  $\text{Sb}_2\text{S}_3-\text{SbI}_3$ : 1 —  $\text{Sb}_{40}\text{S}_{60}$ ; 2 —  $\text{Sb}_{39}\text{S}_{57}\text{I}_4$ ; 3 —  $\text{Sb}_{38}\text{S}_{54}\text{I}_8$ ; 4 —  $\text{Sb}_{37}\text{S}_{48}\text{I}_{15}$ ; 5 —  $\text{Sb}_{36}\text{S}_{43}\text{I}_{19}$ .

Дослідження провідності на змінному струмі стекол систем Ge-As(Sb)-S-I показали, що у вказаному діапазоні частот  $\sigma(\omega)$  зростає зі збільшенням частоти вимірювального поля згідно зі співвідношенням

$$\sigma(\omega) = A\omega^s. \quad (2)$$

Значення степеня  $s$  при  $T = 300$  К наведені в таблиці 1. Для всіх досліджених стекол вид залежності  $\sigma(\omega)$  від  $\omega$  майже не змінюється при зміні складу, і значення показника степеня  $s$  знаходяться в межах 0.78–0.94, що вказує на стрибковий характер провідності на змінному струмі [8].

При вимірюваннях на постійному струмі у всьому

температурному інтервалі виявлено експоненціальній характер залежності провідності від температури

$$\sigma(0) = C \exp(-E_\sigma/kT). \quad (3)$$

Аналіз залежностей  $\sigma(0)$  від  $T$  дозволив визначити енергії активації провідності при  $T = 0$  К стекол у能找到 системах  $E_\sigma$  і встановити, що в них на постійному струмі в інтервалі температур 170–450 К переважає провідність по делокалізованих станах [9].

Провідність  $\sigma(\omega)$  при порівняно низьких  $T$  і високих  $\omega$  слабо залежить від температури. Перехід до експоненціальної залежності  $\sigma(\omega)$  від  $T$  (рис. 3) спо-

стерігається, насамперед, у ділянці низьких частот. Температура цього переходу підвищується зі збільшенням частоти [4]. Ці результати свідчать про те, що  $\sigma(\omega)$  в ділянці невисоких температур визначається, в основному, перестрибуваннями носіїв заряду по ло-

калізованих станах поблизу рівня Фермі. Оскільки ця складова провідності ( $\sigma_F$ ) пропорційна  $T$  [2, 10], то з температурної залежності  $\sigma(\omega)$  можна знайти внесок  $\sigma_F$  у провідність склоподібних сплавів при довільній температурі (рис. 3).

Склад	$\sigma(\omega)$ , См/м	$s$	$\varepsilon$	$\operatorname{tg} \delta$	$E_\sigma$ , еВ	$E_\varepsilon$ , еВ
As40S60	$5.5 \cdot 10^{-8}$	0.84	7.25	$3.6 \cdot 10^{-3}$	1.20	1.23
Sb40S60	$8.2 \cdot 10^{-8}$	0.88	20.6	$4.5 \cdot 10^{-3}$	0.82	0.86
Sb <sub>38</sub> S <sub>54</sub> I <sub>8</sub>	$4.5 \cdot 10^{-7}$	0.91	27.2	$2.1 \cdot 10^{-3}$	0.79	0.75
Sb <sub>37</sub> S <sub>48</sub> I <sub>15</sub>	$3.4 \cdot 10^{-7}$	0.90	24.7	$9.2 \cdot 10^{-4}$	0.75	0.77
Sb <sub>36</sub> S <sub>45</sub> I <sub>19</sub>	$1.5 \cdot 10^{-7}$	0.89	23.5	$6.0 \cdot 10^{-3}$	0.73	0.80
As <sub>37</sub> S <sub>48</sub> I <sub>15</sub>	$2.0 \cdot 10^{-7}$	0.85	7.55	$2.3 \cdot 10^{-3}$	0.94	0.92
As <sub>35</sub> S <sub>42</sub> I <sub>23</sub>	$5.0 \cdot 10^{-7}$	0.88	7.50	$6.5 \cdot 10^{-3}$	0.87	0.82
Ge <sub>7</sub> Sb <sub>32</sub> S <sub>61</sub>	$6.0 \cdot 10^{-8}$	0.85	19.5	$7.5 \cdot 10^{-4}$	0.95	0.87
Ge <sub>10</sub> Sb <sub>28</sub> S <sub>62</sub>	$7.0 \cdot 10^{-8}$	0.84	17.9	$9.3 \cdot 10^{-4}$	1.08	1.02
Ge <sub>14</sub> As <sub>24</sub> S <sub>62</sub>	$2.5 \cdot 10^{-7}$	0.83	6.34	$1.5 \cdot 10^{-3}$	1.18	1.10
Ge <sub>24</sub> As <sub>12</sub> S <sub>64</sub>	$7.0 \cdot 10^{-8}$	0.81	6.01	$8.5 \cdot 10^{-4}$	1.28	1.14
Ge <sub>3</sub> Sb <sub>30</sub> S <sub>37</sub> I <sub>30</sub>	$2.0 \cdot 10^{-7}$	0.81	9.4	$7.0 \cdot 10^{-3}$	0.95	0.88
Ge <sub>17</sub> Sb <sub>17</sub> S <sub>49</sub> I <sub>17</sub>	$9.0 \cdot 10^{-8}$	0.78	11.0	$1.5 \cdot 10^{-3}$	1.02	0.93
Ge <sub>7</sub> As <sub>26</sub> S <sub>41</sub> I <sub>26</sub>	$3.5 \cdot 10^{-7}$	0.87	7.34	$2.5 \cdot 10^{-3}$	0.96	0.91
Ge <sub>17</sub> As <sub>17</sub> S <sub>49</sub> I <sub>17</sub>	$2.5 \cdot 10^{-7}$	0.86	6.05	$9.5 \cdot 10^{-4}$	1.05	0.98

Таблиця 1. Електричні та діелектричні параметри стекол систем Ge–As(Sb)–S–I (значення  $\sigma(\omega)$ ,  $\varepsilon$  і  $\operatorname{tg} \delta$  наведені при 300 К і  $f = 10^5$  Гц).

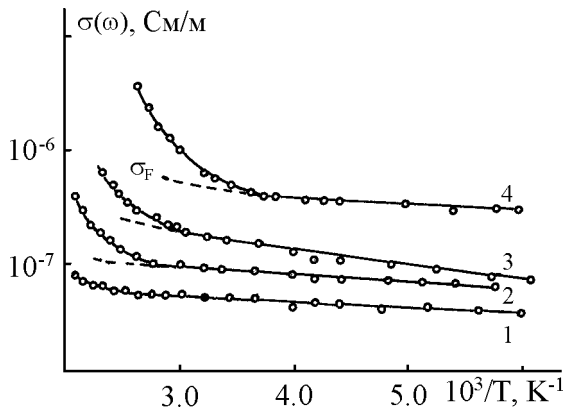


Рис. 3. Температурні залежності  $\sigma(\omega)$  на частоті  $10^5$  Гц стекол: 1 — Ge<sub>7</sub>Sb<sub>32</sub>S<sub>61</sub>; 2 — Sb<sub>40</sub>S<sub>60</sub>; 3 — Sb<sub>37</sub>S<sub>48</sub>I<sub>15</sub>; 4 — As<sub>35</sub>S<sub>42</sub>I<sub>23</sub>.

Як правило [8, 10] локалізація рівня Фермі пов'язується з наявністю заряджених дефектних центрів  $D^+$  і  $D^-$ . У ділянці низьких температур провідність на змінному струмі здійснюється шляхом надбар'єрних стрибків біполяронів між цими центрами ( $D^+ + 2e \leftrightarrow D^-$ ) [11, 12]. Два електрони (біполярон), що знаходяться на центрі  $D^-$ , здійснюють переход на центри  $D^+$  шляхом стрибків через потенційний бар'єр, який у межах моделі Елліотта задається виразом [11]:

Тут  $W_M$  — енергія активації при нескінчено великому розділенні станів, яка для халькогенідних стекол може дорівнювати ширині забороненої зони;  $R_\omega$  — віддаль між двома станами.

Припускаючи розподіл заряджених дефектних центрів випадковим, Елліотт для  $N^2/2$  пар центрів ( $N$  — концентрація локалізованих станів) одержав:

$$\sigma(\omega) = \frac{\varepsilon''(\omega) \omega}{4\pi} = \frac{N^2}{2} \int \frac{e^2 R_\omega^2}{12kT} \frac{\omega^2 \tau}{1 + \omega^2 \tau^2} p(\tau) d\tau, \quad (5)$$

$$\varepsilon'(\omega) - \varepsilon_\infty = 2N^2 \pi \int \frac{e^2 R_\omega^2}{12kT} \frac{1}{1 + \omega^2 \tau^2} p(\tau) d\tau, \quad (6)$$

де  $p(\tau)d\tau$  — ймовірність того, що центр має час релаксації з проміжку  $(\tau, \tau + d\tau)$ . Час релаксації пари

$$\tau = \tau_0 \exp \left( \frac{W}{kT} \right). \quad (7)$$

Для більшості халькогенідних стекол значення  $\tau_0$  знаходиться в межах  $10^{-13}$ – $10^{-12}$  с [2, 11].

У виразах (5) і (6) зручно перейти від розподілу по

$\tau$  до розподілу по  $R_\omega$ :

$$p(\tau) d\tau = q(R_\omega) dR_\omega,$$

оскільки він, як правило, відомий. Для випадкового розподілу центрів функція  $R_\omega$  має вигляд [11]:

$$q(R_\omega) = 4\pi R_\omega^2 \exp\left(-\frac{4\pi N R_\omega^3}{3}\right). \quad (8)$$

Тоді, використовуючи (8) для функції розподілу, (7) — для часу релаксації та інтегруючи в (5) в межах від  $\tau_0$  до  $\tau_0 \exp(W_M/kT)$ , можна одержати вираз для  $\sigma(\omega)$  в ділянці температур  $T < T_g$  [11]:

$$\sigma(\omega) = \frac{\pi^2 N^2 \varepsilon}{24} \left( \frac{8e^2}{\varepsilon W_M} \right)^6 \frac{\omega^{1-\beta}}{\tau_0^\beta}, \quad (9)$$

де  $\beta = 6kT/W_M$ . З рівняння (9) випливає, що показник степеня  $s$  в (2) ( $s = 1 - \beta$ ) менший від одиниці і зменшується з підвищенням температури. Слід відзначити добру кореляцію між розрахованими й експериментальними параметрами  $\sigma(\omega)$  для стекол систем Ge-As(Sb)-S-I [4, 7].

З рівняння Крамерса-Кроніга випливає, що степеневому закону  $\sigma(\omega) = A\omega^s$  (при  $s < 1$ ) відповідає рівність [3, 13]:

$$\varepsilon(\omega) - \varepsilon_\infty = \frac{4\pi\sigma(\omega)}{\omega} \operatorname{tg}\left(\frac{\pi}{2}s\right), \quad (10)$$

яка дозволяє оцінити глибину дисперсії діелектричної проникності. Аналіз величини параметра  $A$  для значної кількості халькогенідних стекол показав, що її середнє значення складає  $3 \cdot 10^{-12}$  См·м $^{-1}$  Гц $^{-1}$ . Тоді, використовуючи співвідношення  $\sigma(f) = Af^s$ , (10) можна виразити як [3]

$$\varepsilon(f) - \varepsilon_\infty = 5.4 \cdot 10^{-2} f^{s-1} \operatorname{tg}\left(\frac{\pi s}{2}\right). \quad (11)$$

Згідно з цим рівнянням глибина дисперсії  $\varepsilon$  в діапазоні частот  $10^4$ – $10^{10}$  Гц при  $s = 0.9$  дорівнює  $\sim 0.10$ . При прямуванні  $s$  до одиниці величина  $\varepsilon(f) - \varepsilon_\infty$  досягає значення  $\sim 0.40$ .

Експериментальні результати досліджень  $\sigma(\omega)$ ,  $\varepsilon$  і  $\operatorname{tg} \delta$  в ділянці порівняно невисоких температур ( $T < T_g$ ) підтверджують правильність проведених вище оцінок. У діапазоні частот  $10^4$ – $10^{10}$  Гц дисперсія  $\varepsilon$  практично відсутня (рис. 1), а діелектричні втрати зростом частоти зменшуються.

Наявність заряджених дефектних центрів  $D^+$  і  $D^-$ , концентрація яких у вивчених стеклах складає  $10^{24}$ – $10^{25}$  м $^{-3}$  [4, 7], визначає не тільки провідність на змінному струмі. Такі центри є місцями нерегулярного розподілу електричного заряду в склі. При відсутності електричного поля під впливом тепло-

вих флюктуацій носії заряду здійснюють стрибки між центраторами. Однак хаотичні переміщення зарядів не приводять до поляризації. Прикладене зовнішнє поле стимулює “уніпольарність” таких переходів і викликає появу індукованого цим полем електричного моменту одиниці об’єму скла. При порівнянно невисоких температурах ( $T < T_g$ ) число переходів невелике через малу кількість носіїв заряду, які мають енергію, достатню для переходу через потенціальний бар’єр, максимальна висота якого може бути  $W_M$ .

При температурах, близьких до  $T_g$ , зростає роль нейтральних центрів  $D^0$ , які утворюються в результаті оборотної реакції  $2D^0 \rightarrow D^+ + D^-$  [2]. Це полегшує стрибки носіїв заряду між центраторами (оскільки висота потенціального бар’єра в цьому випадку  $W_M' < W_M$ ), зумовлюючи зростання поляризації, а значить, і  $\varepsilon$ . Утворенням центрів  $D^0$  і експоненціальним збільшенням їх концентрації з підвищеннем  $T$  (в ділянці  $T \sim T_g$ ) зумовлена і значна температурна залежність  $\sigma(\omega)$  (рис. 3) [2, 4, 7].

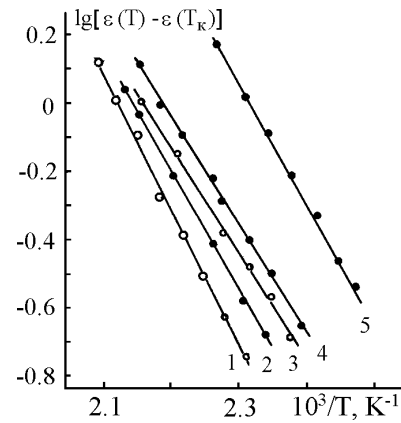


Рис. 4. Залежність  $\lg[\varepsilon(T) - \varepsilon(T_K)]$  від  $1/T$ . Позначення ті ж, що й на рис. 2.

Зростання концентрації  $D^0$  центрів з температурою приводить до значного внеску в  $\sigma(\omega)$  стрибків простих поляронів (електронів між центраторами  $D^0$  і  $D^+$  та дірок між центраторами  $D^0$  і  $D^-$ ), які перевищують внесок стрибків біополяронів.

У ділянці температур склування спостерігається експоненціальне зростання  $\varepsilon$  (рис. 2), яке можна описати виразом [14]

$$\frac{\varepsilon(T)}{\varepsilon(T_K)} \approx \exp\left(-\frac{E_\varepsilon}{kT}\right), \quad (12)$$

де  $\varepsilon(T_K)$  — діелектрична проникність при  $T = 300$  К,  $E_\varepsilon$  — енергія активації. Якщо зростання поляризації з підвищенням  $T$  зумовлене збільшенням концентрації носіїв заряду, які можуть перебороти потенціальні бар’єри, значно менші від  $W_M$ , то логарифм приросту діелектричної проникності  $\lg[\varepsilon(T) - \varepsilon(T_K)]$

є лінійною функцією оберненої температури. Побудовані залежності  $\lg[\varepsilon(T) - \varepsilon(T_K)] \sim f(1/T)$  для стекол системи Sb<sub>2</sub>S<sub>3</sub>-SbI<sub>3</sub> (рис. 4), типові для всіх досліджених стекол систем Ge-As(Sb)-S-I, виявилися лінійними й дозволили визначити енергії активації  $E_\varepsilon$ , які є близькими енергіям активації  $E_\sigma$ , визначенім з температурних залежностей провідності (табл. 1). Слід відзначити, що переходи носіїв між зарядженими дефектними центрами зумовлюють не тільки поведінку  $\varepsilon$  і  $\sigma(\omega)$ , а й діелектричні втрати. Крім того, зростання  $\varepsilon$  в ділянці температур склування може бути зумовлене і збільшенням атомної поляризованості стекол, викликаної полегшенням орієнтації структурних угруповань за рахунок підвищення мобільності сітки скла в ділянці  $T_g$  [14].

#### IV. ВИСНОВКИ

Провідність на змінному струмі  $\sigma(\omega)$  всіх вивчених стекол у системах Ge-As(Sb)-S-I змінюється з

частотою згідно зі співвідношенням  $\sigma(\omega) \sim \omega^s$ , де  $s$ , залежно від складу, при  $T = 300$  К приймає значення 0.78–0.95. При порівнянно низьких температурах і високих частотах  $\sigma(\omega)$  слабо залежить від температури. У цій ділянці температур провідність на змінному струмі здійснюється шляхом надбар'єрних стрибків біполаронів між зарядженими центрами  $D^-$  і  $D^+$ . Переход до експоненціальній залежності  $\sigma(\omega)$  від  $T$  спостерігається насамперед у ділянці низьких частот. Температура цього переходу підвищується зі збільшенням частоти. У цій ділянці температур суттєвий внесок у  $\sigma(\omega)$  дають стрибики простих поляронів між центрами  $D^0$  і  $D^+$  та  $D^0$  і  $D^-$ .

У вивченому діапазоні частот не виявлено дисперсії діелектричної проникності  $\varepsilon$  стекол, а  $\operatorname{tg} \delta$  з ростом частоти монотонно зменшується. У ділянці температур  $T < T_g$  величини  $\varepsilon$  і  $\operatorname{tg} \delta$  практично постійні, а при  $T \sim T_g$  значно зростають. Отримані результати досліджень діелектричних параметрів задовільно пояснюються в межах моделі заряджених дефектних центрів.

- 
- [1] Г. Фрелих, *Теория диэлектриков*, (Изд-во иностр. лит-ры, Москва, 1960).
  - [2] K. Shimakawa, Philos. Mag. **46**, 123 (1982).
  - [3] М. С. Гутенев, Физ. хим. стекла **9**, 291 (1983).
  - [4] В. М. Рубиш, И. Д. Туряница, П. П. Штец, Физ. электрон. **33**, 50 (1986).
  - [5] А. А. Молнар, Вісн. Ужгород. ун-ту, сер. фіз. **2**, 101 (1998).
  - [6] А. А. Брандт, *Исследование диэлектриков на сверхвысоких частотах*, (Гос. изд-во физ.-мат. лит-ры, Москва, 1963).
  - [7] В. М. Рубиш, И. Д. Туряница, В. В. Химинец, Укр. физ. журн. **26**, 1856 (1981).
  - [8] Н. Мотт, Э. Дэвис, *Электронные процессы в некристаллических веществах*, (Мир, Москва, 1982).
  - [9] В. М. Рубиш, И. Д. Туряница, П. П. Штец, Укр. физ. журн. **29**, 1532 (1984).
  - [10] *Аморфные полупроводники*, Под ред. М. Бродски, (Мир, Москва, 1982).
  - [11] S. R. Elliott, Philos. Mag. **36**, 1291 (1977).
  - [12] S. R. Elliott, Solid State Commun. **27**, 749 (1978).
  - [13] G. E. Pike, Phys. Rev. B **6**, 1572 (1972).
  - [14] В. М. Рубиш, И. Д. Туряница, Физ. электрон. **23**, 51 (1981).

#### AC-CONDUCTIVITY AND DIELECTRIC PROPERTIES OF CHALCOHALOGENIDE GLASSES

V. M. Rubish

*Uzhgorod National University, Physical Faculty,  
46 Pidgirna Str., Uzhgorod, UA-88000, Ukraine*

A.c. conductivity  $\sigma(\omega)$  and dielectric parameters ( $\varepsilon$  and  $\operatorname{tg} \delta$ ) of Ge-As(Sb)-S-I system glasses are investigated in the frequency range of  $10^4$ – $10^{10}$  Hz and temperature interval from room to glassforming  $T_g$ . Combined hopping mechanism of bipolarons and single-polaron charge transfer defined the temperature and frequency dependences of  $\sigma(\omega)$ . Dielectric properties of glasses are explained on the basis of model charge defects.